

การรู้จำตัวอักษรภาษาไทยแบบออนไลน์โดยใช้แบบจำลองยิดเดนมาრ์คอฟและพัชซีโลจิก

นายรุจน์ บุศยพลากร

## ศูนย์วิทยทรัพยากร

วิทยานิพนธ์นี้เป็นส่วนหนึ่งของการศึกษาตามหลักสูตรปริญญาวิศวกรรมศาสตรมหาบัณฑิต

สาขาวิชาชีวกรรมไฟฟ้า ภาควิชาชีวกรรมไฟฟ้า

คณะวิศวกรรมศาสตร์ จุฬาลงกรณ์มหาวิทยาลัย

ปีการศึกษา 2546

ISBN: 974-17-3619-3

ลิขสิทธิ์ของจุฬาลงกรณ์มหาวิทยาลัย

ONLINE THAI CHARACTER RECOGNITION USING HIDDEN MARKOV  
MODEL AND FUZZY LOGIC

Mr. Rud Budsayaplakorn

ศูนย์วิทยบรังษยการ  
จุฬาลงกรณ์มหาวิทยาลัย

A Thesis Submitted in Partial Fulfillment of the Requirements  
for the Degree of Master of Engineering in Electrical Engineering

Department of Electrical Engineering

Faculty of Engineering

Academic Year 2003

ISBN: 974-17-3619-3

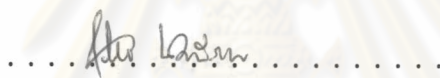
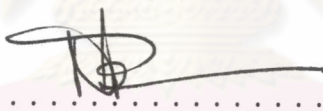
หัวข้อวิทยานิพนธ์ การรู้จำตัวอักษรภาษาไทยแบบออนไลน์โดยใช้แบบจำลองฮิดเดนมาร์คอฟ  
 และฟัซซีโลจิก  
 โดย นายรุจน์ บุญพากร  
 สาขาวิชา วิศวกรรมไฟฟ้า  
 อาจารย์ที่ปรึกษา รองศาสตราจารย์ ดร.สมชาย จิตะพันธ์กุล  
 อาจารย์ที่ปรึกษาร่วม อาจารย์วิทยากร อัศดราเวศษ

---

คณะกรรมการคัดเลือกผู้เข้าแข่งขัน อนุมัติให้นับวิทยานิพนธ์ฉบับนี้เป็นส่วนหนึ่งของ  
การศึกษาตามหลักสูตรปริญญามหาบัณฑิต

  
 ....., คณบดีคณะวิศวกรรมศาสตร์  
 (ศาสตราจารย์ ดร. สมศักดิ์ ปัญญาแก้ว)

คณะกรรมการสอบวิทยานิพนธ์

  
 ....., ประธานกรรมการ  
 (อาจารย์สุวิทย์ นาคพีระยุทธ)  
  
 ....., อาจารย์ที่ปรึกษา  
 (รองศาสตราจารย์ ดร.สมชาย จิตะพันธ์กุล)

  
 ....., อาจารย์ที่ปรึกษาร่วม  
 (อาจารย์วิทยากร อัศดราเวศษ)

  
 ....., กรรมการ  
 (ผู้ช่วยศาสตราจารย์ ดร.บุญเสริม กิจศิริกุล)

รุจัน บุศยพลากร : การรู้จำตัวอักษรภาษาไทยแบบออนไลน์โดยใช้แบบจำลองยิดเดนมาრ์คอฟ และฟซซีโลจิก. (ONLINE THAI CHARACTER RECOGNITION USING HIDDEN MARKOV MODEL AND FUZZY LOGIC) อ.ที่ปรึกษา : รศ. ดร.สมชาย จิตะพันธุ์กุล, อ.ที่ปรึกษาร่วม : อ.วิทยากร อัศตรวิเศษ, 87 หน้า. ISBN: 974-17-3619-3

วิทยานิพนธ์ฉบับนี้นำเสนอด้วยรูปแบบใหม่ด้วยแบบจำลองยิดเดนมาร์คอฟทำงานร่วมกับฟซซีโลจิก สำหรับการรู้จำตัวอักษรลายมือเขียนภาษาไทยจากคำแบบออนไลน์ ในปัจจุบันงานวิจัยทางด้านการรู้จำลายมือเขียนภาษาไทยในปัจจุบันมีแนวโน้มเข้าสู่ 2 วิธีการหลักคือ วิธีทางสถิติ เช่น แบบจำลองยิดเดนมาร์คอฟ โครงข่ายประสาทเทียม เป็นต้น และ วิธีที่อยู่บนพื้นฐานของโครงสร้างและกฎ ขณะที่การรู้จำด้วยแบบจำลองยิดเดนมาร์คอฟประสบปัญหากับอัตราการรู้จำต่ำในกลุ่มตัวอักษรภาษาไทยที่คล้ายกัน การรู้จำด้วยฟซซีโลจิกก็ยากที่จะตั้งกฎให้ครอบคลุมรูปแบบลายมือเขียนได้ทั้งหมด กรรมวิธีในงานวิจัยนี้จึงนำเสนอข้อดีของทั้งสองแนวทางในการรู้จำการทำงานร่วมกันเพื่อชดเชยอัตราการรู้จำต่ำในแบบจำลองยิดเดนมาร์คอฟ และความลำบากในการตั้งกฎจำนวนมาก

ผลการทดสอบกระบวนการไมโครคอมพิวเตอร์ที่ใช้หน่วยประมวลผลกลางเป็นเพนเที่ยมทรีเควม เร็ว 733 เมกะเฮิรตซ์ และมีหน่วยความจำหลัก 256 เมกะไบต์ การทดสอบระบบกับตัวอักษรตัวเดียว ระดับกลางของผู้เขียนอิสระได้อัตราการรู้จำเฉลี่ยร้อยละ 93.1 และการทดสอบระบบกับตัวอักษรตัวเดียวระดับนของผู้เขียนอิสระได้อัตราการรู้จำเฉลี่ยร้อยละ 91.0 โดยใช้เวลาในการคำนวณเฉลี่ย 0.09 วินาทีต่อตัวอักษร

## ศูนย์วิทยทรัพยากร จุฬาลงกรณ์มหาวิทยาลัย

ภาควิชา \_\_\_\_\_ วิศวกรรมไฟฟ้า  
สาขาวิชา \_\_\_\_\_ วิศวกรรมไฟฟ้า  
ปีการศึกษา \_\_\_\_\_ 2546

ลายมือชื่อนิสิต \_\_\_\_\_ อ.พ. 2/1  
ลายมือชื่ออาจารย์ที่ปรึกษา \_\_\_\_\_  
ลายมือชื่ออาจารย์ที่ปรึกษาร่วม \_\_\_\_\_

# # 447 04950 21 : MAJOR ELECTRICAL ENGINEERING

KEY WORD: ON-LINE CHARATER RECOGNITION / HIDDEN MARKOV MODEL / FUZZY LOGIC / DISTINCTIVE FEATURES/ HANDWRITTEN THAI CHARACTER RECOGNITION

RUD BUDSAYAPLAKORN : ONLINE THAI CHARACTER RECOGNITION USING  
HIDDEN MARKOV MODEL AND FUZZY LOGIC. THESIS ADVISOR : ASSOC.  
PROF. SOMCHAI JITAPUNKUL, Dr.Ing., THESIS COADVISOR : WIDHYAKORN  
ASDORNWISED, 87 pp. ISBN: 974-17-3619-3

This thesis presents a new on-line recognition method of Thai handwritten characters. Nowadays, active researches in Thai handwriting recognition are converged into two distinct methods, statistical methods (such as Hidden Markov Model (HMM), Artificial Neural Networks, etc.) and character-structure-or-rule based methods (such as Fuzzy Logic classifier). The former, HMM shows poor recognition rate due to Thai fuzzy characters. The shortcoming of the latter, Fuzzy Logic classifier is on difficulties in establishing sets of rules to cover whole handwriting styles. Our method is proposed to exploit the best of two worlds by combining the advantages of each other in order to compensate the HMM's poor recognition rate of fuzzy characters and the difficulties of constructing the rules.

The system was executed on a Pentium III processor at 733 MHz and 256 Mbytes of RAM. The experimental results showed an average recognition rate 93.2%, in a middle level character case for independent users, and 91.0% in a upper level character case for independent users. Furthermore, the average running time of our proposed method was only 0.09 seconds/character.

## จุฬาลงกรณ์มหาวิทยาลัย

Department Electrical Engineering

Student's signature อ้วน ใจวุฒิ

Field of study Electrical Engineering

Advisor's signature สมชาย ใจวุฒิ

Academic year 2003

Coadvisor's signature ดร. สมชาย ใจวุฒิ

## กิจกรรมประจำ

วิทยานิพนธ์ฉบับนี้สำเร็จลุล่วงไปได้ด้วยความช่วยเหลือของ รศ.ดร.สมชาย จิตะพันธ์กุล อาจารย์ที่ปรึกษาวิทยานิพนธ์ และ อ.วิทยากร อัศครวิเศษ อาจารย์ที่ปรึกษาวิทยานิพนธ์ร่วม ซึ่งได้ให้คำแนะนำ และข้อคิดเห็นต่างๆ ตลอดช่วงเวลาในการทำวิจัย ผู้วิจัยจึงขอกราบขอบคุณมา ณ ที่นี่

ขอขอบคุณโครงการเสริมสร้างความเชื่อมโยงระหว่างภาควิชาชีวกรรมไฟฟ้าและภาคเอกชนทางด้านการวิจัยและพัฒนา ปี พ.ศ. 2546 ที่มอบทุนสนับสนุนแก่ผู้วิจัย รวมถึงจุฬาลงกรณ์มหาวิทยาลัยที่มอบทุนศิษย์กันกุฎีและการสนับสนุนการนำเสนอผลงานทางวิชาการในต่างประเทศ

ขอขอบคุณห้องปฏิบัติการวิจัยกรรมวิธีสัญญาณดิจิทัล สถานที่ทำการวิจัย รวมถึงเพื่อนพี่น้องนิสิตห้องปฏิบัติการ ที่มีส่วนช่วยเหลือและให้ข้อคิดเห็นและคำแนะนำ และกำลังใจตลอดระยะเวลาการทำวิจัยอย่างดียิ่ง

สุดท้ายนี้ขอขอบคุณบิดา แมรดา รวมทั้งพี่น้อง ซึ่งได้ให้การสนับสนุน และเป็นกำลังใจแก่ผู้วิจัยเสมอมาจนสำเร็จการศึกษา

ศูนย์วิทยทรัพยากร  
จุฬาลงกรณ์มหาวิทยาลัย

## สารบัญ

	หน้า
บทคัดย่อภาษาไทย . . . . .	๔
บทคัดย่อภาษาอังกฤษ . . . . .	๕
กิตติกรรมประกาศ . . . . .	๖
สารบัญ . . . . .	๗
สารบัญตาราง . . . . .	๘
สารบัญภาพ . . . . .	๙
บทที่	
1 บทนำ . . . . .	1
1.1 ประวัติและความเป็นมา . . . . .	1
1.2 วัตถุประสงค์ . . . . .	3
1.3 เป้าหมายและขอบเขตของงานวิจัย . . . . .	3
1.4 ขั้นตอนและวิธีการดำเนินงาน . . . . .	3
1.5 ประโยชน์ที่คาดว่าจะได้รับ . . . . .	4
2 ทฤษฎีและแนวคิด . . . . .	5
2.1 กระบวนการก่อนหน้า . . . . .	5
2.2 แบบจำลองยิดเดนมาრ์คอฟ . . . . .	6
2.2.1 องค์ประกอบของแบบจำลองยิดเดนมาร์คอฟแบบไม่ต่อเนื่อง . . . . .	6
2.2.2 การใช้แบบจำลองยิดเดนมาร์คอฟในการรู้จำ . . . . .	7
2.2.3 แบบจำลองยิดเดนมาร์คอฟแบบต่อเนื่อง . . . . .	12
2.3 พัชชีโลจิก . . . . .	14
2.3.1 นิยามพัชชีเซต . . . . .	14
2.3.2 พังก์ชันความเป็นสมาชิก . . . . .	14
2.3.3 ตัวดำเนินการพัชชี . . . . .	15
2.3.4 ตัวแปรพัชชีเชิงภาษา . . . . .	15
2.3.5 การประมาณเหตุผลด้วยพัชชี . . . . .	15

2.3.6 การสร้างชุดกฎหมายพื้นที่ . . . . .	16
3 การรู้จำตัวอักษรลายมือเขียนภาษาไทยแบบออนไลน์ด้วยแบบจำลองยิดเดนมาრ์คอฟและพื้นที่โลจิก . . . . .	17
3.1 การทำงานของแบบจำลองยิดเดนมาร์คอฟในระบบรู้จำตัวอักษร . . . . .	17
3.1.1 การแบ่งส่วนของเส้น (Line Segmentation) . . . . .	18
3.1.2 การสกัดคุณลักษณะสำคัญ (Feature Extraction) . . . . .	19
3.1.3 แบบจำลองยิดเดนมาร์คอฟกับการรู้จำตัวอักษร . . . . .	20
3.2 ลักษณะปั่นความต่าง . . . . .	20
3.3 การวัดทางพื้นที่ . . . . .	21
3.3.1 การวัดความน่าจะเป็นภายหลังของแบบจำลองยิดเดนมาร์คอฟ . . . . .	22
3.3.2 การวัดลักษณะปั่นความต่าง . . . . .	23
3.4 ชุดกฎหมายพื้นที่ . . . . .	34
4 ขั้นตอนการทดลอง ผลการทดลองและวิเคราะห์ผลการทดลอง . . . . .	36
4.1 เครื่องมือที่ใช้ในการทดสอบ . . . . .	36
4.2 แหล่งที่มาของข้อมูลและการเก็บข้อมูล . . . . .	38
4.3 การทดสอบประสิทธิภาพของการรู้จำด้วยแบบจำลองยิดเดนมาร์คอฟ . . . . .	38
4.4 วิเคราะห์การทดสอบประสิทธิภาพของการรู้จำด้วยแบบจำลองยิดเดนมาร์คอฟ . . . . .	40
4.5 การทดสอบประสิทธิภาพของการรู้จำด้วยระบบรู้จำที่นำเสนอ . . . . .	47
4.6 วิเคราะห์การทดสอบประสิทธิภาพของการรู้จำด้วยระบบรู้จำที่นำเสนอ . . . . .	57
4.6.1 ความผิดพลาดจากการวัดค่าความน่าจะเป็นภายหลังของแบบจำลองยิดเดนมาร์คอฟ . . . . .	57
4.6.2 ความผิดพลาดจากการวัดตัวแปรพื้นที่ของหัวตัวอักษร . . . . .	57
4.6.3 ความผิดพลาดจากการวัดตัวแปรพื้นที่ของอัตราส่วนความกว้างต่อความสูงของตัวอักษร . . . . .	58
4.6.4 ความผิดพลาดจากการวัดตัวแปรพื้นที่ของตำแหน่งจุดตันและจุดปลายของตัวอักษร . . . . .	59
4.6.5 ความผิดพลาดจากการวัดตัวแปรพื้นที่ของรอยหยักของตัวอักษร . . . . .	59
4.6.6 ความผิดพลาดจากการวัดตัวแปรพื้นที่ของตำแหน่งของจุดตัดในตัวอักษร . . . . .	60
4.6.7 ความผิดพลาดจากการวัดตัวแปรพื้นที่ของจำนวนขีดด้านท้ายตัวอักษร . . . . .	60

4.7 การเปรียบเทียบประสิทธิภาพของระบบรู้จำทั้งสอง . . . . .	61
<b>5 สรุปผลการทดลองและข้อเสนอแนะ . . . . .</b>	<b>68</b>
5.1 บทสรุป . . . . .	68
5.2 ข้อเสนอแนะสำหรับงานในอนาคต . . . . .	69
รายการอ้างอิง . . . . .	70
ภาคผนวก . . . . .	72
<b>ประวัติผู้เขียนวิทยานิพนธ์ . . . . .</b>	<b>87</b>



## สารบัญตาราง

ตารางที่ 1.1	เปรียบเทียบข้อดีข้อเสียของระบบรู้จำแบบรูปชนิดต่างๆ . . . . .	2
ตารางที่ 1.2	ตัวอักษรภาษาไทยแบ่งตามระดับ . . . . .	4
ตารางที่ 4.1	อัตราการรู้จำเฉลี่ยของระบบรู้จำตัวอักษรภาษาไทยด้วยแบบจำลองชิดเดนมาრ์คอฟ . . . . .	39
ตารางที่ 4.2	ผลการทดสอบระบบรู้จำด้วยแบบจำลองชิดเดนมาร์คอฟโดยใช้ข้อมูลจากตัวอักษรและสรระระดับกลางสำหรับทดสอบของกลุ่มผู้เขียนที่ใช้ในการฝึกฝนระบบ . . . . .	43
ตารางที่ 4.3	ผลการทดสอบระบบรู้จำด้วยแบบจำลองชิดเดนมาร์คอฟโดยใช้ข้อมูลจากตัวอักษรและสรระระดับกลางของกลุ่มผู้เขียนอิสระ . . . . .	44
ตารางที่ 4.4	ผลการทดสอบระบบรู้จำด้วยแบบจำลองชิดเดนมาร์คอฟโดยใช้ข้อมูลจากสรระและวรรณยุกต์ระดับบนสำหรับทดสอบของกลุ่มผู้เขียนที่ใช้ในการฝึกฝนระบบ . . . . .	45
ตารางที่ 4.5	ผลการทดสอบระบบรู้จำด้วยแบบจำลองชิดเดนมาร์คอฟโดยใช้ข้อมูลจากสรระและวรรณยุกต์ระดับบนของกลุ่มผู้เขียนอิสระ . . . . .	46
ตารางที่ 4.6	ผลการทดสอบระบบรู้จำที่นำเสนอโดยใช้ข้อมูลจากสรระระดับล่างสำหรับทดสอบของกลุ่มผู้เขียนที่ใช้ในการฝึกฝนระบบ . . . . .	47
ตารางที่ 4.7	ผลการทดสอบระบบรู้จำที่นำเสนอโดยใช้ข้อมูลจากสรระระดับล่างของกลุ่มผู้เขียนอิสระ . . . . .	47
ตารางที่ 4.8	อัตราการรู้จำเฉลี่ยของระบบรู้จำตัวอักษรภาษาไทยด้วยแบบจำลองชิดเดนมาร์คอฟและพัชซีโลจิก . . . . .	48
ตารางที่ 4.9	อัตราการรู้จำผิดพลาดภายในตัวอักษรภาษาในกลุ่มที่มีความแตกต่างที่ทิศทางการเขียนหัว และอัตราการรู้จำเฉลี่ยของตัวอักษรเหล่านั้น . . . . .	48
ตารางที่ 4.10	อัตราการรู้จำผิดพลาดภายในตัวอักษรภาษาในกลุ่มที่มีความแตกต่างที่อัตราส่วนความกว้างต่อความสูง และอัตราการรู้จำเฉลี่ยของตัวอักษรเหล่านั้น . . . . .	49
ตารางที่ 4.11	อัตราการรู้จำผิดพลาดภายในตัวอักษรภาษาในกลุ่มที่มีความแตกต่างที่ตำแหน่งจุดตัน และจุดปลายของตัวอักษร และอัตราการรู้จำเฉลี่ยของตัวอักษรเหล่านั้น . . . . .	50
ตารางที่ 4.12	อัตราการรู้จำผิดพลาดภายในตัวอักษรภาษาในกลุ่มที่มีความแตกต่างที่รอยหยัก และอัตราการรู้จำเฉลี่ยของตัวอักษรเหล่านั้น . . . . .	50

ตารางที่ 4.13 อัตราการรู้จำผิดพลาดภายนอกกลุ่มที่มีความแตกต่างที่ทำให้eng ชุดดัด และอัตราการรู้จำเฉลี่ยของตัวอักษรเหล่านั้น . . . . .	52
ตารางที่ 4.14 อัตราการรู้จำผิดพลาดภายนอกกลุ่มที่มีความแตกต่างที่ลักษณะ <sup>จะ</sup> และจำนวนขีดด้านท้ายตัวอักษร และอัตราการรู้จำเฉลี่ยของตัวอักษรเหล่านั้น	52
ตารางที่ 4.15 ผลการทดสอบระบบรู้จำที่นำเสนอด้วยข้อมูลจากตัวอักษรและสาระระดับกลาง สำหรับทดสอบของกลุ่มผู้เขียนที่ใช้ในการฝึกฝนระบบ . . . . .	53
ตารางที่ 4.16 ผลการทดสอบระบบรู้จำที่นำเสนอด้วยข้อมูลจากตัวอักษรและสาระระดับกลาง ของกลุ่มผู้เขียนอิสระ . . . . .	54
ตารางที่ 4.17 ผลการทดสอบระบบรู้จำที่นำเสนอโดยใช้ข้อมูลจากสาระและวรรณยุกต์ระดับ บนสำหรับทดสอบของกลุ่มผู้เขียนที่ใช้ในการฝึกฝนระบบ . . . . .	55
ตารางที่ 4.18 ผลการทดสอบระบบรู้จำที่นำเสนอโดยใช้ข้อมูลจากสาระและวรรณยุกต์ระดับ บนของกลุ่มผู้เขียนอิสระ . . . . .	56
ตารางที่ 4.19 เปรียบเทียบสมรรถนะของระบบรู้จำที่นำเสนอ กับระบบรู้จำด้วยแบบจำลอง อิดเดนมาร์คอฟ . . . . .	61

# ศูนย์วิทยทรัพยากร จุฬาลงกรณ์มหาวิทยาลัย

## สารบัญ

รูปที่ 2.1	แผนภาพการทำงานของระบบรู้จำแบบรูป . . . . .	5
รูปที่ 2.2	ตัวอย่างตัวอักษรที่มีทาง และกรอบตัวอักษรที่ไม่รวมทาง . . . . .	6
รูปที่ 2.3	(ก) แผนภูมิลำดับการคำนวณตัวแปรไปข้างหน้า (ข) แผนภูมิในการสร้างการคำนวณ . . . . .	9
รูปที่ 3.1	แผนภาพการทำงานระบบรู้จำตัวอักษรลายมือเขียนภาษาไทยแบบออนไลน์ด้วยแบบจำลองอิดเดนماركอฟและพัชชีโลจิก . . . . .	17
รูปที่ 3.2	มุมที่พบว่าเป็นมุมแหลม . . . . .	18
รูปที่ 3.3	(ก) มุมะหวงเส้นสัมผัสของจุดที่พิจารณา กับเส้นสัมผัสของจุดแรกของเส้นย่ออย $\theta_t$ (ข) มุมะหวงเส้นที่ลากจากจุดแรกของเส้นย่ออยถึงจุดที่พิจารณา กับเส้นสัมผัสที่จุดแรกของเส้นย่ออย $\theta_s$ . . . . .	19
รูปที่ 3.4	ตัวอย่างลายมือเขียนที่ถูกแบ่งส่วนของเส้นตามข้อกำหนดต่างๆ . . . . .	19
รูปที่ 3.5	คุณลักษณะของเส้นย่ออย . . . . .	20
รูปที่ 3.6	ภาพแห่งความถี่ $P_d$ ของตัวอักษรที่พิจารณาจากชุดข้อมูลฝึกฝนในกรณีที่ $P_d$ ไม่ได้มีค่ามากที่สุด และพังก์ชันความเป็นสมาชิกของตัวแปรพัชชี $μ_{likelihood,i}$ . . . . .	22
รูปที่ 3.7	ความน่าจะเป็น $P(O (w/h))$ ของชุดข้อมูลตัวอักษรแคบ จตุรัส และกว้าง และพังก์ชันความเป็นสมาชิกของตัวแปรพัชชีความกว้างตัวอักษร . . . . .	24
รูปที่ 3.8	กราฟความน่าจะเป็นภายหลัง $P(O \theta_{cu})$ ที่ได้จากชุดข้อมูลฝึกฝน และพังก์ชันความเป็นสมาชิกทั้ง 3 แบบ . . . . .	25
รูปที่ 3.9	พื้นที่ย่ออยแสดงตำแหน่งของตัวอักษร . . . . .	26
รูปที่ 3.10	ลายมือเขียนของตัวอักษร ‘ต’ . . . . .	28
รูปที่ 3.11	คุณลักษณะของเส้นคง . . . . .	29
รูปที่ 3.12	กราฟความน่าจะเป็น $P(O \theta_c)$ ของเส้นคงที่เป็นรอยหยักบนตัวอักษร กับเส้นคงอื่นๆ ที่พบบนตัวอักษรในชุดฝึกฝน และพังก์ชันความเป็นสมาชิกของความแหลมรอยหยักในตัวอักษรที่มีรอยหยัก . . . . .	31
รูปที่ 3.13	พังก์ชันความเป็นสมาชิกของตัวแปรแสดงทิศทาง . . . . .	31
รูปที่ 3.14	รูปแสดงลักษณะการเขียนบรรระดับบนที่มีขีดด้านท้าย . . . . .	32

รูปที่ 3.15	กราฟความถี่ของมุ่นเส้นอย่างขีดท้ายตัวอักษร และพังก์ชันความเป็นสมาชิก . . . . .	34
รูปที่ 4.1	โปรแกรมในการจัดเก็บข้อมูล . . . . .	37
รูปที่ 4.2	ตัวอย่างตัวอักษรที่เขียนเสีย ในการเก็บข้อมูล . . . . .	37
รูปที่ 4.3	อัตราการรู้จำตัวอักษร ‘ก’ ถึง ‘ช’ ของกลุ่มผู้เขียนที่ฝึกฝนระบบเมื่อใช้จำนวน สถานะต่างๆ . . . . .	38
รูปที่ 4.4	แบบจำลองฮิดเดนมาრคوفที่ใช้ในวิทยานิพนธ์นี้ . . . . .	39
รูปที่ 4.5	ตัวอย่างลายมือเขียนตัวอักษรที่แตกต่างกันที่ศิลปะการเขียนหัว . . . . .	40
รูปที่ 4.6	ตัวอย่างลายมือเขียนตัวอักษรที่แตกต่างกันที่อัตราส่วนความกว้างต่อความสูง . .	41
รูปที่ 4.7	ตัวอย่างลายมือเขียนตัวอักษรที่แตกต่างกันที่ตำแหน่งจุดตัน และจุดปลายของ ตัวอักษร . . . . .	41
รูปที่ 4.8	ตัวอย่างลายมือตัวอักษรที่แตกต่างกันที่รอยหยัก . . . . .	42
รูปที่ 4.9	ตัวอย่างลายมือตัวอักษรที่แตกต่างกันที่ตำแหน่งจุดตัดกันของเส้น . . . . .	42
รูปที่ 4.10	ตัวอย่างลายมือตัวอักษรที่แตกต่างกันที่จำนวนขีดด้านท้ายตัวอักษร . . . . .	47
รูปที่ 4.11	การแบ่งส่วนหัวตัวอักษรที่ผิดพลาด . . . . .	57
รูปที่ 4.12	ตัวอักษร ‘ก’ ที่มีเส้นจากการจดปากกาเกินมา และไม่ถูกกำจัดออกในกระบวนการ ก่อนหน้า . . . . .	58
รูปที่ 4.13	ตัวอักษร ‘ข’ (รูปทางซ้าย) ที่มีความกว้างใกล้เคียงหรือมากกว่า ตัวอักษร ‘บ’ (รูปทางขวา) . . . . .	58
รูปที่ 4.14	จุดตันของตัวอักษร ‘ฒ’ ที่อยู่ด้านบนสุดของตัวอักษร . . . . .	59
รูปที่ 4.15	ตัวอักษร ‘ภ’ ที่เขียนผิดรูปแบบทำให้หารอยหยักด้านล่างไม่พบ . . . . .	59
รูปที่ 4.16	วงรอบในตัวอักษรที่แทนเส้นหัก . . . . .	60
รูปที่ 4.17	การเขียนวงรอบโดยไม่ตั้งใจ และการไม่เกิดจุดตัด . . . . .	60
รูปที่ 4.18	เส้นที่ไม่ถูกนับ . . . . .	60
รูปที่ 4.19	การนับเส้นเกิน . . . . .	61
รูปที่ 4.20	แผนภูมิเปรียบเทียบอัตราการรู้จำตัวอักษรระดับกลาง (ก-บ) ของข้อมูลตัวอักษร จากกลุ่มผู้เขียนที่ใช้ในการฝึกฝนระบบ . . . . .	62
รูปที่ 4.21	แผนภูมิเปรียบเทียบอัตราการรู้จำตัวอักษรระดับกลาง (ป-ໄອ) ของข้อมูลตัวอักษร จากกลุ่มผู้เขียนที่ใช้ในการฝึกฝนระบบ . . . . .	63

รูปที่ 4.22 แผนภูมิเปรียบเทียบอัตราการรู้จำตัวอักษรระดับกลาง (ก-บ) ของข้อมูลตัวอักษร จากกลุ่มผู้เขียนอิสระ . . . . .	64
รูปที่ 4.23 แผนภูมิเปรียบเทียบอัตราการรู้จำตัวอักษรระดับกลาง (ป-ไอ) ของข้อมูลตัวอักษร จากกลุ่มผู้เขียนอิสระ . . . . .	65
รูปที่ 4.24 แผนภูมิเปรียบเทียบอัตราการรู้จำตัวอักษรระดับบนของข้อมูลตัวอักษรจากกลุ่ม ผู้เขียนที่ใช้ในการฝึกฝนระบบ . . . . .	66
รูปที่ 4.25 แผนภูมิเปรียบเทียบอัตราการรู้จำตัวอักษรระดับบนของข้อมูลตัวอักษรจากกลุ่ม ผู้เขียนอิสระ . . . . .	67

# ศูนย์วิทยทรัพยากร จุฬาลงกรณ์มหาวิทยาลัย